

Transport de charge par tricoptère

Étienne Servais

Sous la direction de:
Brigitte d'Andréa-Novel au CAOR
Hugues Mounier au L2S

10 avril 2014

- 1 Introduction
- 2 Génération de trajectoires
- 3 Le tricoptère sans charge
 - Le tricoptère du LSR
 - Modèle
- 4 Transport de charge
 - PFD appliqué au drone
 - PFD appliqué à la masse
 - Platitude

- 1 Introduction
- 2 Génération de trajectoires
- 3 Le tricoptère sans charge
- 4 Transport de charge

Faire collaborer un système multi-agents

- robots ;
- navires ;
- drones ;

Cela leur permet de réaliser des tâches comme :

- observation ;
- construction ;
- transport de charges lourdes ;

- 1 Introduction
- 2 Génération de trajectoires
- 3 Le tricoptère sans charge
- 4 Transport de charge

Nous imposons certaines contraintes géométriques :

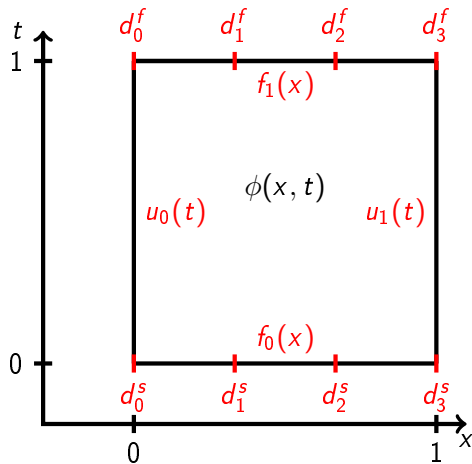


Figure : Points de contrôle et formations.

$$v_t + v_x v = \mu v_{xx}, t > 0, x \in [0; 1]$$

$$v_t + v_x v = \mu v_{xx}, t > 0, x \in [0; 1]$$

- 1 équation aux dérivées partielles (**EDP**) ;
- 2 fluide en écoulement laminaire ;
- 3 non linéaire, permet des chocs.

$$v_t + v_x v = \mu v_{xx}, t > 0, x \in [0; 1]$$

- 1 équation aux dérivées partielles (**EDP**) ;
- 2 fluide en écoulement laminaire ;
- 3 non linéaire, permet des chocs.

Nous transformons l'équation de Burgers en équation de la chaleur :

$$u = -2\mu \frac{v_x}{v}, u_t = \mu u_{xx}$$

L'équation de la chaleur avec deux contrôles aux bords est plate :

$$\phi(x, t) = (C_x T_1 - T_x C_1)\phi_0(t) - (C_x T_0 - T_x C_0)\phi_1(t)$$

Avec :

$$C_x = \operatorname{ch}\left(x\sqrt{\frac{s}{\mu}}\right), S_x = \sqrt{\frac{\mu}{s}} \operatorname{sh}\left(x\sqrt{\frac{s}{\mu}}\right), T_x = S_x(S_1)^{-1}$$

Nous pouvons donc générer les trajectoires que nous voulons (en respectant certaines contraintes).

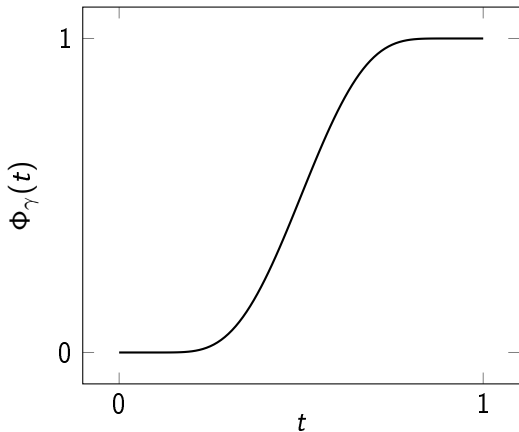


Figure : Solution de base non analytique

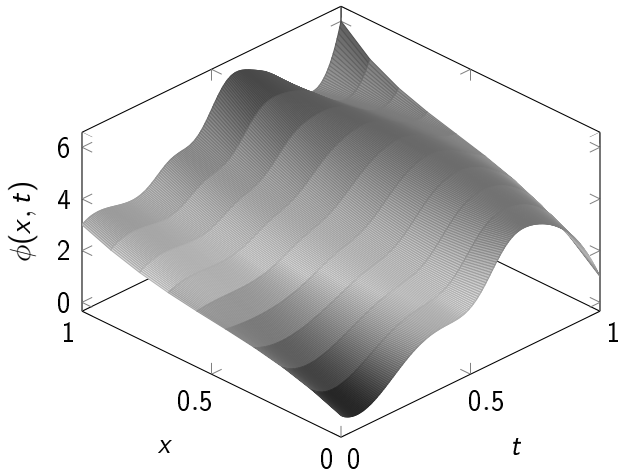


Figure : Exemple de trajectoires (1D).

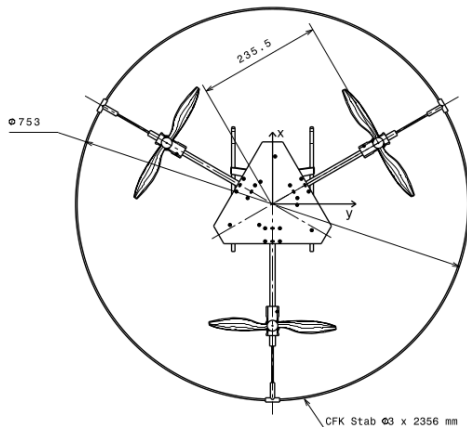
Figure : Trajectoires de deux robots dans le plan ($\gamma = 1.5$)

Travail présenté dans :

[1] E. Servais, B. d'Andréa Novel, and H. Mounier, "Motion Planning for Multi-Agent Systems Using Gevrey Trajectories Based on Burgers' Viscous Equation," in *19th IFAC World Congress, Cap Town*

- 1 Introduction
- 2 Génération de trajectoires
- 3 Le tricoptère sans charge
 - Le tricoptère du LSR
 - Modèle
- 4 Transport de charge

Développé au *Lehrstuhl für Systemtheorie und Regelungstechnik* de Saarbrücken par David Kastelan sous la direction de prof. J. Rudolph.



Un tricoptère, pourquoi ?

- 6 contrôles indépendants : translations possibles.

Un tricoptère, pourquoi ?

- 6 contrôles indépendants : translations possibles.
- Moins de moteurs ;

Décrit entre autres dans :

- [2] S. Salazar-Cruz, F. Kendoul, R. Lozano, and I. Fantoni, "Real-time stabilization of a small three-rotor aircraft," *Aerospace and Electronic Systems, IEEE Transactions on*, vol. 44, no. 2, pp. 783–794, 2008
- [3] J. Escareño, A. Sanchez, O. Garcia, and R. Lozano, "Triple tilting rotor mini-UAV: modeling and embedded control of the attitude," in *American Control Conference, 2008*, 2008, pp. 3476–3481
- [4] M. K. Mohamed and A. Lanzon, "Design and control of novel tri-rotor UAV," in *Control (CONTROL), 2012 UKACC International Conference on*, 2012, pp. 304–309

Système soumis à ;

- poussée des rotors ;

Système soumis à ;

- poussée des rotors ;
- poids ;

Système soumis à ;

- poussée des rotors ;
- poids ;
- couple aérodynamique des rotors ;

Système soumis à ;

- poussée des rotors ;
- poids ;
- couple aérodynamique des rotors ;
- couple dû à la poussée.

$$\begin{aligned} M \left(\dot{\mathbf{v}}^{\mathcal{B}} + S(\boldsymbol{\Omega})\mathbf{v}^{\mathcal{B}} \right) &= -k_F \mathbf{H}_f \rho + Mg R_I^{\mathcal{B}} \mathbf{z}_I \\ J \dot{\boldsymbol{\Omega}} + S(\boldsymbol{\Omega})J\boldsymbol{\Omega} &= k_F L \mathbf{H}_t \rho - k_M \mathbf{H}_d \rho \end{aligned}$$

$$\begin{aligned} M \left(\dot{\mathbf{v}}^{\mathcal{B}} + S(\boldsymbol{\Omega})\mathbf{v}^{\mathcal{B}} \right) &= -k_F \mathbf{H}_f \rho + Mg R_I^{\mathcal{B}} z_I \\ J \dot{\boldsymbol{\Omega}} + S(\boldsymbol{\Omega})J\boldsymbol{\Omega} &= k_F L \mathbf{H}_t \rho - k_M \mathbf{H}_d \rho \end{aligned}$$

Avec :

$$\rho = \begin{pmatrix} \omega_1^2 s_{\alpha_1} \\ \omega_2^2 s_{\alpha_2} \\ \omega_3^2 s_{\alpha_3} \\ \omega_1^2 c_{\alpha_1} \\ \omega_2^2 c_{\alpha_2} \\ \omega_3^2 c_{\alpha_3} \end{pmatrix}$$

$$\begin{aligned} M \left(\dot{\mathbf{v}}^{\mathcal{B}} + S(\boldsymbol{\Omega}) \mathbf{v}^{\mathcal{B}} \right) &= -k_F \mathbf{H}_f \boldsymbol{\rho} + Mg R_{\mathcal{I}}^{\mathcal{B}} \mathbf{z}_{\mathcal{I}} \\ J \dot{\boldsymbol{\Omega}} + S(\boldsymbol{\Omega}) J \boldsymbol{\Omega} &= k_F L \mathbf{H}_t \boldsymbol{\rho} - k_M \mathbf{H}_d \boldsymbol{\rho} \end{aligned}$$

Avec :

- \mathcal{I} : référentiel inertiel ;

$$\boldsymbol{\rho} = \begin{pmatrix} \omega_1^2 s_{\alpha_1} \\ \omega_2^2 s_{\alpha_2} \\ \omega_3^2 s_{\alpha_3} \\ \omega_1^2 c_{\alpha_1} \\ \omega_2^2 c_{\alpha_2} \\ \omega_3^2 c_{\alpha_3} \end{pmatrix}$$

$$\begin{aligned} M \left(\dot{\mathbf{v}}^{\mathcal{B}} + S(\boldsymbol{\Omega}) \mathbf{v}^{\mathcal{B}} \right) &= -k_F \mathbf{H}_f \boldsymbol{\rho} + Mg R_{\mathcal{I}}^{\mathcal{B}} \mathbf{z}_{\mathcal{I}} \\ J \dot{\boldsymbol{\Omega}} + S(\boldsymbol{\Omega}) J \boldsymbol{\Omega} &= k_F L \mathbf{H}_t \boldsymbol{\rho} - k_M \mathbf{H}_d \boldsymbol{\rho} \end{aligned}$$

Avec :

- \mathcal{I} : référentiel inertiel ;
- \mathcal{B} : référentiel lié au drone ;

$$\boldsymbol{\rho} = \begin{pmatrix} \omega_1^2 s_{\alpha_1} \\ \omega_2^2 s_{\alpha_2} \\ \omega_3^2 s_{\alpha_3} \\ \omega_1^2 c_{\alpha_1} \\ \omega_2^2 c_{\alpha_2} \\ \omega_3^2 c_{\alpha_3} \end{pmatrix}$$

$$\begin{aligned}
 M \left(\dot{\mathbf{v}}^{\mathcal{B}} + S(\boldsymbol{\Omega}) \mathbf{v}^{\mathcal{B}} \right) &= -k_F \mathbf{H}_f \rho + Mg R_{\mathcal{I}}^{\mathcal{B}} \mathbf{z}_{\mathcal{I}} \\
 J \dot{\boldsymbol{\Omega}} + S(\boldsymbol{\Omega}) J \boldsymbol{\Omega} &= k_F L \mathbf{H}_t \rho - k_M \mathbf{H}_d \rho
 \end{aligned}$$

Avec :

- \mathcal{I} : référentiel inertiel ;
- \mathcal{B} : référentiel lié au drone ;
- $\mathbf{v}^{\mathcal{B}}$: vitesse du drone dans \mathcal{B} ;

$$\rho = \begin{pmatrix} \omega_1^2 s_{\alpha_1} \\ \omega_2^2 s_{\alpha_2} \\ \omega_3^2 s_{\alpha_3} \\ \omega_1^2 c_{\alpha_1} \\ \omega_2^2 c_{\alpha_2} \\ \omega_3^2 c_{\alpha_3} \end{pmatrix}$$

$$\begin{aligned}
 M \left(\dot{\mathbf{v}}^{\mathcal{B}} + S(\boldsymbol{\Omega}) \mathbf{v}^{\mathcal{B}} \right) &= -k_F \mathbf{H}_f \boldsymbol{\rho} + Mg R_{\mathcal{I}}^{\mathcal{B}} \mathbf{z}_{\mathcal{I}} \\
 J \dot{\boldsymbol{\Omega}} + S(\boldsymbol{\Omega}) J \boldsymbol{\Omega} &= k_F L \mathbf{H}_t \boldsymbol{\rho} - k_M \mathbf{H}_d \boldsymbol{\rho}
 \end{aligned}$$

Avec :

- \mathcal{I} : référentiel inertiel ;
- \mathcal{B} : référentiel lié au drone ;
- $\mathbf{v}^{\mathcal{B}}$: vitesse du drone dans \mathcal{B} ;
- $\boldsymbol{\Omega}$ vitesse angulaire du drone par rapport à \mathcal{I} ;

$$\boldsymbol{\rho} = \begin{pmatrix} \omega_1^2 s_{\alpha_1} \\ \omega_2^2 s_{\alpha_2} \\ \omega_3^2 s_{\alpha_3} \\ \omega_1^2 c_{\alpha_1} \\ \omega_2^2 c_{\alpha_2} \\ \omega_3^2 c_{\alpha_3} \end{pmatrix}$$

$$\begin{aligned}
 M \left(\dot{\mathbf{v}}^{\mathcal{B}} + S(\boldsymbol{\Omega}) \mathbf{v}^{\mathcal{B}} \right) &= -k_F \mathbf{H}_f \boldsymbol{\rho} + Mg R_{\mathcal{I}}^{\mathcal{B}} \mathbf{z}_{\mathcal{I}} \\
 J \dot{\boldsymbol{\Omega}} + S(\boldsymbol{\Omega}) J \boldsymbol{\Omega} &= k_F L \mathbf{H}_t \boldsymbol{\rho} - k_M \mathbf{H}_d \boldsymbol{\rho}
 \end{aligned}$$

Avec :

$$\boldsymbol{\rho} = \begin{pmatrix} \omega_1^2 s_{\alpha_1} \\ \omega_2^2 s_{\alpha_2} \\ \omega_3^2 s_{\alpha_3} \\ \omega_1^2 c_{\alpha_1} \\ \omega_2^2 c_{\alpha_2} \\ \omega_3^2 c_{\alpha_3} \end{pmatrix}$$

- \mathcal{I} : référentiel inertiel ;
- \mathcal{B} : référentiel lié au drone ;
- $\mathbf{v}^{\mathcal{B}}$: vitesse du drone dans \mathcal{B} ;
- $\boldsymbol{\Omega}$ vitesse angulaire du drone par rapport à \mathcal{I} ;
- k_F : coef. de poussée aérodynamique ;

$$\begin{aligned}
 M \left(\dot{\mathbf{v}}^{\mathcal{B}} + S(\boldsymbol{\Omega})\mathbf{v}^{\mathcal{B}} \right) &= -k_F \mathbf{H}_f \boldsymbol{\rho} + Mg R_{\mathcal{I}}^{\mathcal{B}} \mathbf{z}_{\mathcal{I}} \\
 J \dot{\boldsymbol{\Omega}} + S(\boldsymbol{\Omega})J\boldsymbol{\Omega} &= k_F L \mathbf{H}_t \boldsymbol{\rho} - k_M \mathbf{H}_d \boldsymbol{\rho}
 \end{aligned}$$

Avec :

$$\boldsymbol{\rho} = \begin{pmatrix} \omega_1^2 s_{\alpha_1} \\ \omega_2^2 s_{\alpha_2} \\ \omega_3^2 s_{\alpha_3} \\ \omega_1^2 c_{\alpha_1} \\ \omega_2^2 c_{\alpha_2} \\ \omega_3^2 c_{\alpha_3} \end{pmatrix}$$

- \mathcal{I} : référentiel inertiel ;
- \mathcal{B} : référentiel lié au drone ;
- $\mathbf{v}^{\mathcal{B}}$: vitesse du drone dans \mathcal{B} ;
- $\boldsymbol{\Omega}$ vitesse angulaire du drone par rapport à \mathcal{I} ;
- k_F : coef. de poussée aérodynamique ;
- k_M : coef. de couple aérodynamique ;

$$\begin{aligned} M \left(\dot{\mathbf{v}}^{\mathcal{B}} + S(\boldsymbol{\Omega})\mathbf{v}^{\mathcal{B}} \right) &= -k_F \mathbf{H}_f \boldsymbol{\rho} + MgR_{\mathcal{I}}^{\mathcal{B}} \mathbf{z}_{\mathcal{I}} \\ J \dot{\boldsymbol{\Omega}} + S(\boldsymbol{\Omega})J\boldsymbol{\Omega} &= k_F L \mathbf{H}_t \boldsymbol{\rho} - k_M \mathbf{H}_d \boldsymbol{\rho} \end{aligned}$$

Avec :

$$\boldsymbol{\rho} = \begin{pmatrix} \omega_1^2 s_{\alpha_1} \\ \omega_2^2 s_{\alpha_2} \\ \omega_3^2 s_{\alpha_3} \\ \omega_1^2 c_{\alpha_1} \\ \omega_2^2 c_{\alpha_2} \\ \omega_3^2 c_{\alpha_3} \end{pmatrix}$$

- \mathcal{I} : référentiel inertiel ;
- \mathcal{B} : référentiel lié au drone ;
- $\mathbf{v}^{\mathcal{B}}$: vitesse du drone dans \mathcal{B} ;
- $\boldsymbol{\Omega}$ vitesse angulaire du drone par rapport à \mathcal{I} ;
- k_F : coef. de poussée aérodynamique ;
- k_M : coef. de couple aérodynamique ;
- J : matrice d'inertie du drone.

$$\begin{pmatrix} \dot{\mathbf{v}}^{\mathcal{B}} \\ \dot{\boldsymbol{\Omega}} \end{pmatrix} = \boldsymbol{\Gamma} + \Delta\rho$$

$$\begin{pmatrix} \dot{\mathbf{v}}^{\mathcal{B}} \\ \dot{\boldsymbol{\Omega}} \end{pmatrix} = \boldsymbol{\Gamma} + \Delta \boldsymbol{\rho}$$

Avec : $\det \Delta \neq 0$

$$\begin{pmatrix} \dot{\mathbf{v}}^{\mathcal{B}} \\ \dot{\boldsymbol{\Omega}} \end{pmatrix} = \Gamma + \Delta \rho$$

Et donc :

$$\rho = \Delta^{-1} \left(\begin{pmatrix} \dot{\mathbf{v}}^{\mathcal{B}} \\ \dot{\boldsymbol{\Omega}} \end{pmatrix} - \Gamma \right)$$

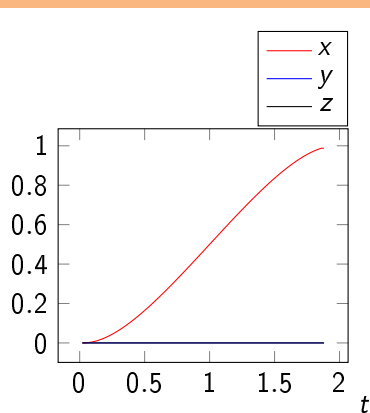


Figure : Position.

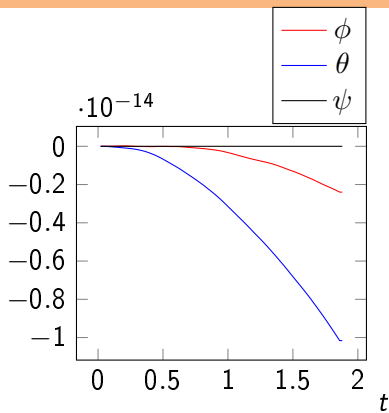


Figure : Orientation.

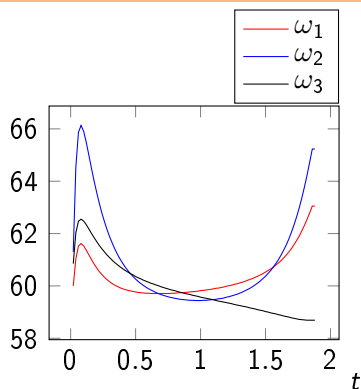


Figure : Vitesse de rotation des rotors.

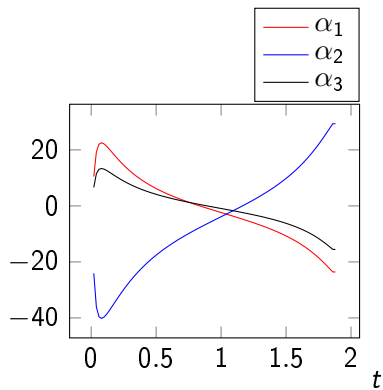


Figure : Inclinaison des rotors.

- 1 Introduction
- 2 Génération de trajectoires
- 3 Le tricoptère sans charge
- 4 Transport de charge
 - PFD appliqué au drone
 - PFD appliqué à la masse
 - Platitude

La charge est :

- ponctuelle;

La charge est :

- ponctuelle ;
- au bout d'un câble sans masse ;

La charge est :

- ponctuelle ;
- au bout d'un câble sans masse ;
- fixé en le centre de masse du drone.

$$\begin{aligned} M \left(\dot{\mathbf{v}}^{\mathcal{B}} + S(\boldsymbol{\Omega}) \mathbf{v}^{\mathcal{B}} \right) &= -k_F \mathbf{H}_f \rho + Mg R_{\mathcal{I}}^{\mathcal{B}} z_{\mathcal{I}} - T R_{\mathcal{P}}^{\mathcal{B}} z_{\mathcal{P}} \\ J \dot{\boldsymbol{\Omega}} + S(\boldsymbol{\Omega}) J \boldsymbol{\Omega} &= k_F L \mathbf{H}_t \rho - k_M \mathbf{H}_d \rho \end{aligned}$$

$$\begin{aligned} M \left(\dot{\mathbf{v}}^{\mathcal{B}} + S(\boldsymbol{\Omega}) \mathbf{v}^{\mathcal{B}} \right) &= -k_F \mathbf{H}_f \rho + Mg R_{\mathcal{I}}^{\mathcal{B}} z_{\mathcal{I}} - TR_{\mathcal{P}}^{\mathcal{B}} z_{\mathcal{P}} \\ J \dot{\boldsymbol{\Omega}} + S(\boldsymbol{\Omega}) J \boldsymbol{\Omega} &= k_F L \mathbf{H}_t \rho - k_M \mathbf{H}_d \rho \end{aligned}$$

- \mathcal{P} : référentiel lié à la charge ;

$$\begin{aligned} M \left(\dot{\mathbf{v}}^{\mathcal{B}} + S(\boldsymbol{\Omega}) \mathbf{v}^{\mathcal{B}} \right) &= -k_F \mathbf{H}_f \rho + Mg R_{\mathcal{I}}^{\mathcal{B}} \mathbf{z}_{\mathcal{I}} - T R_{\mathcal{P}}^{\mathcal{B}} \mathbf{z}_{\mathcal{P}} \\ J \dot{\boldsymbol{\Omega}} + S(\boldsymbol{\Omega}) J \boldsymbol{\Omega} &= k_F L \mathbf{H}_t \rho - k_M \mathbf{H}_d \rho \end{aligned}$$

- \mathcal{P} : référentiel lié à la charge ;
- T : tension du câble.

$$m(\dot{\mathbf{v}}^{\mathcal{P}} + S(\boldsymbol{\Omega}')\mathbf{v}^{\mathcal{P}}) = T\mathbf{z}_{\mathcal{P}} + mgR_{\mathcal{I}}^{\mathcal{P}}\mathbf{z}_{\mathcal{I}}$$

$$m (\dot{\mathbf{v}}^{\mathcal{P}} + S(\boldsymbol{\Omega}') \mathbf{v}^{\mathcal{P}}) = T \mathbf{z}_{\mathcal{P}} + mg R_{\mathcal{I}}^{\mathcal{P}} \mathbf{z}_{\mathcal{I}}$$

- $\mathbf{v}^{\mathcal{P}}$: vitesse de la charge dans \mathcal{P} ;

$$m(\dot{\mathbf{v}}^{\mathcal{P}} + S(\boldsymbol{\Omega}')\mathbf{v}^{\mathcal{P}}) = T\mathbf{z}_{\mathcal{P}} + mgR_{\mathcal{I}}^{\mathcal{P}}\mathbf{z}_{\mathcal{I}}$$

- $\mathbf{v}^{\mathcal{P}}$: vitesse de la charge dans \mathcal{P} ;
- $\boldsymbol{\Omega}'$ vitesse angulaire de la charge par rapport à \mathcal{P} ;

Newton-Euler appliqué :

- au système câble+charge :

Newton-Euler appliqué :

- au système câble+charge :
- en la rotule.

Newton-Euler appliqué :

- au système câble+charge :
- en la rotule.

Seul couple appliqué : poids de la charge

$$J'\dot{\Omega}' + S(\Omega')J'\Omega' = mlS(z_{\mathcal{P}})(gR_I^{\mathcal{P}}z_I - \dot{v}^{\mathcal{P}})$$

$$J'\dot{\Omega}' + S(\Omega')J'\Omega' = mlS(z_{\mathcal{P}})(gR_{\mathcal{I}}^{\mathcal{P}}z_{\mathcal{I}} - \dot{\mathbf{v}}^{\mathcal{P}})$$

- J' matrice d'inertie du système câble+charge ;

$$J'\dot{\Omega}' + S(\Omega')J'\Omega' = mIS(z_{\mathcal{P}}) (gR_{\mathcal{I}}^{\mathcal{P}}z_{\mathcal{I}} - \dot{\mathbf{v}}^{\mathcal{P}})$$

- J' matrice d'inertie du système câble+charge ;
- Ω' vitesse angulaire de la charge par rapport à \mathcal{P} ;

$$J'\dot{\Omega}' + S(\Omega')J'\Omega' = mIS(z_{\mathcal{P}}) (gR_{\mathcal{I}}^{\mathcal{P}}z_{\mathcal{I}} - \dot{\mathbf{v}}^{\mathcal{P}})$$

- J' matrice d'inertie du système câble+charge ;
- Ω' vitesse angulaire de la charge par rapport à \mathcal{P} ;
- $\mathbf{v}^{\mathcal{P}}$: vitesse de la charge dans \mathcal{P} ;

Sorties plates :

Sorties plates :

- p : position de la charge ;

Sorties plates :

- \mathbf{p} : position de la charge ;
- α, β : orientation du pendule par rapport au drone ;

Sorties plates :

- \mathbf{p} : position de la charge ;
- α, β : orientation du pendule par rapport au drone ;
- ψ : lacet du drone.

Sorties plates :

- \mathbf{p} : position de la charge ;
- α, β : orientation du pendule par rapport au drone ;
- ψ : lacet du drone.

En effet :

- dynamique de la charge par rapport au drone grâce à α, β ;

Sorties plates :

- \mathbf{p} : position de la charge ;
- α, β : orientation du pendule par rapport au drone ;
- ψ : lacet du drone.

En effet :

- dynamique de la charge par rapport au drone grâce à α, β ;
- la tension par le PFD appliqué à la charge ;

Sorties plates :

- \mathbf{p} : position de la charge ;
- α, β : orientation du pendule par rapport au drone ;
- ψ : lacet du drone.

En effet :

- dynamique de la charge par rapport au drone grâce à α, β ;
- la tension par le PFD appliqué à la charge ;
- La position du drone par le PFD appliqué au drone+géométrie.

Sorties plates :

- \mathbf{p} : position de la charge ;
- α, β : orientation du pendule par rapport au drone ;
- ψ : lacet du drone.

En effet :

- dynamique de la charge par rapport au drone grâce à α, β ;
- la tension par le PFD appliqué à la charge ;
- La position du drone par le PFD appliqué au drone+géométrie.
- ϕ, θ grâce à ψ .

-  E. Servais, B. d'Andréa Novel, and H. Mounier, “Motion Planning for Multi-Agent Systems Using Gevrey Trajectories Based on Burgers' Viscous Equation,” in *19th IFAC World Congress, Cap Town*.
-  S. Salazar-Cruz, F. Kendoul, R. Lozano, and I. Fantoni, “Real-time stabilization of a small three-rotor aircraft,” *Aerospace and Electronic Systems, IEEE Transactions on*, vol. 44, no. 2, pp. 783–794, 2008.
-  J. Escareño, A. Sanchez, O. Garcia, and R. Lozano, “Triple tilting rotor mini-UAV : modeling and embedded control of the attitude,” in *American Control Conference, 2008*, 2008, pp. 3476–3481.
-  M. K. Mohamed and A. Lanzon, “Design and control of novel tri-rotor UAV,” in *Control (CONTROL), 2012 UKACC International Conference on*, 2012, pp. 304–309.